

Ludwig-Maximilians-Universität
Institut für Statistik
Wintersemester 2019/2020



Abschlussbericht zum Projekt LVS-IR-Taubenstein

Projektpartner: Sascha Filimon, Roman Ossner

Gruppenbetreuer: Dr. André Klima

Projektgruppe: Alexander Fogus, Lea Vanheyden, Zorana Spasojević

Inhaltsverzeichnis

Inhaltsverzeichnis	ii
Abbildungsverzeichnis	iii
Tabellenverzeichnis	i
1 Einleitung	1
2 Datenbasis	2
2.1 Datengrundlage	2
2.2 Datenaufbereitung	3
3 Deskriptive Analyse	5
4 Methodik	6
4.1 Nichtparametrische Regression	6
4.1.1 Polynom-Splines	7
4.1.2 Basis Splines (B-Splines)	7
4.1.3 Penalisierte Splines (P-Splines)	9
4.2 Additives Modell	10
4.2.1 Generalisierte additive Modell	10

Abbildungsverzeichnis

2.1	Satellitenbild, dass die Lage der zwei Routen und der Checkpoints verdeutlich	2
4.1	Schematische Darstellung der Schätzung eines nichtparametrischen Effekts mit B-Splines	8

Tabellenverzeichnis

2.1	Übersicht aller benutzten Variablen mit kurzer Beschreibung	4
-----	---	---

1 Einleitung

Als beliebtes Ziel für Touristen und Wintersportler besteht im Alpengebiet eine besondere Konfliktsituation zwischen Mensch- und Tierreich. Routen für Spaziergänger, Skifahrer und Skitourengehänger grenzen oft direkt an Lebensräume von Wildtieren an und führen so zu Stress für das Wildtierreich. Die vom Deutschen Alpenverein (DAV) in Kooperation mit dem Freistaat Bayern auf den Weg gebrachte Kampagne „Natürlich auf Tour“ soll für eine Sensibilisierung und Informationsgebung rund um das Thema Naturschutz dienen.

Neben der Aufklärung ist ein weiteres Ziel dabei, das Verhalten der menschlichen Besucher zu analysieren um daraus abzuleiten inwiefern man es womöglich steuern kann. In diesem Sinne untersuchte der DAV in Zusammenarbeit mit dem Department für Geographie der LMU am Berg Taubenstein im Mangfallgebirge rund um den Spitzingsee in der Saison 18/19 und 19/20 den Anteil der Skitourengehänger mit sogenannten LVS-Geräten. LVS-Gerät ist die Abkürzung für Lawinenverschüttetensuchgerät, mit Hilfe dieser Geräte können von Lawinen verschüttete Personen schnell gefunden werden. Personen, die ein LVS-Gerät dabeihaben, können mit diesem andere LVS-Geräte suchen und auch selbst gefunden werden.

Anhand der zur Verfügung gestellten Daten zur Saison 18/19 wird durch ein Modell der Anteil der Skitourengehänger mit LVS-Gerät in Abhängigkeit von anderen Faktoren (wie z.B. Uhrzeit, Temperatur, Schneehöhe) analysiert .

Zudem wird untersucht, von welchen Einflussgrößen die Messfehler abhängen, welcher Art (Über-/Unterschätzung) sie sind und ob eine Struktur (mögl. Verteilung) vorliegt.

Unter Berücksichtigung der Erkenntnisse über die Messfehler werden Hypothesen aufgestellt, in welcher Form die Messfehler die geschätzten Abhängigkeiten beeinflussen.

Noch schreiben, was wir rausgefunden haben.

Quelle:

<https://de.wikipedia.org/wiki/Lawinenverschüttetensuchgerät>

2 Datenbasis

2.1 Datengrundlage

Um auf den Anteil der Skitourengängen, die ein LVS-Gerät bei sich hatten, schließen zu können, hat man Checkpoints aufgestellt. Für den Aufstieg am Taubenstein gibt es zwei Routen, eine Nord- und eine Südroute. Die genauen Lagen kann man Abbildung 2.1 entnehmen. An beiden Routen wurde jeweils ein Checkpoint aufgestellt, an dem vorbeigehende Besucher gemessen werden. Durch Infrarotmessung wird erfasst, ob ein Mensch am Checkpoint vorbeigeht. AuSSerdem werden LVS-Geräte, die auf Sendebetrieb geschaltet sind, erfasst. Für jede einzelne Checkpointmessung liegt das jeweilige Datum mit Uhrzeit vor und an welcher der zwei Routen (N oder S) sie erfasst wurde.



Abbildung 2.1: Satellitenbild, dass die Lage der zwei Routen und der Checkpoints verdeutlicht

Für die erste Untersuchung benutzen wir vorerst nur diese automatisch erfassten Daten zur Saison 18/19. Der umfasste Zeitraum läuft dabei vom 21.12.2018 bis

zum 13.04.2019. Anzumerken ist dabei, dass am 23.12. und 24.12. keine Messungen vorliegen, zudem werden Messungen vom 07.01. bis zum 15.01. auSSer Acht gelassen, da aufgrund von starkem Schneefall die Checkpoints bedeckt waren.

Zusätzlich zu diesen automatischen Messungen wurden manuell Gruppen von (?)Studenten/Mitarbeitern des Departments für Geographie(?) an bestimmten Tagen vor Ort eingesetzt, um durch Befragungen manuelle Daten zu gewinnen. Dabei wurde festgestellt, dass bei den durch die Checkpoints erhobenen Daten Messfehler vorliegen.

Quelle:

Folien vom Erstgespräch

Neben der Erfassung von Personen und LVS-Geräten liegen verschiedene weitere Daten vor. Für jeden Tag an dem gemessen wurde gibt es Information zu den Wetterbedingungen bzw. anderen möglichen Einflussvariablen. „snowheight“ bemisst die Schneehöhe in cm. „temperature“ ist die Temperatur des Tages um 12:00 mittags. „solar_radiation“ zeigt die Sonneneinstrahlung in W/cm^2 . AuSSerdem sind die Lawinenwarnstufen des jeweiligen Tages angegeben. Es kann vorkommen, dass die Lawinenwarnstufe auf der Spitze des Berges eine andere ist als im Tal, deshalb gibt es zwei Variablen: „avalanche_report_top“ und „avalanche_report_down“. Diese geben die Lawinenwarnstufe an der Spitze und am FuSS des Berges an. Obwohl es Stufen von 1 (niedrig) bis 5 (sehr hoch) gibt, war die in dem beobachteten Zeitraum höchste Stufe eine 4. An Tagen an denen die Stufen unterschiedlich waren wurde auSSerdem in „avalanche_report_border“ der Höhenmeter angegeben, ab dem sich die Lawinengefahr unterscheidet. In „avalanche_report_comment“ ist vermerkt, ob es sich dabei um eine Waldgrenze handelt. „day“ gibt an, um welchen Tag der Woche es sich handelt und „day_weekday“, „day_weekend“ und „holiday“ geben jeweils an, ob der Tag ein Tag unter der Woche oder am Wochenende war und ob er sich innerhalb einer Ferienzeit befunden hat.

2.2 Datenaufbereitung

Der erste Schritt besteht darin, die gegebenen Daten um weitere

Bearbeitung der Daten durch uns:

(noch mehr schreiben)

sunrise und sunset

„count_beacon“ und „count_infrared“ enthalten die Anzahl der gemessenen

Tabelle 2.1: Übersicht aller benutzten Variablen mit kurzer Beschreibung

Name	Beschreibung	Werte
date	Datum	Datum vom 25.12.2018 bis zum 15.01.2019
time	Uhrzeit(minutengenau)	Uhrzeit von 03:59 bis 03:59
position	Route an der gemessen wurde	diskret (2 Ausprägungen): S,N
lvs	Hat die gemessene Person ein LVS-Gerät mitgeführt?	diskret (2 Auspr.): ja, nein
day	Wochentag	diskret (7 Auspr.): Montag, Dienstag,...
snowheight	Schneehöhe in cm (am Tag der Messung)	stetig: 16-212
temperature	Temperatur in $^{\circ}\text{C}$ um 12:00	stetig: (-7.9)-(9.7)
solar_radiation	Sonneneinstrahlung in W/cm^2	stetig: 14-792
avalanche_report	berechnete Lawinenwarnstufe	diskret (7 Auspr.): 1, 1.5, 2,...
holiday	Handelte es sich um einen Ferientag?	diskret (2 Auspr.): ja, nein
sunrise	Uhrzeit des Sonnenaufgangs	Uhrzeit von 05:29 bis 08:02
sunset	Uhrzeit des Sonnenuntergangs	Uhrzeit von 16:24 bis 18:58
day_length	berechnete Länge des Tages (von Sonnenauf- bis Sonnenuntergang)	von 08:24 bis 13:28 h

LVS-Geräte bzw. Infrarotmessungen pro Tag.

Umwandlung der Messungen zu Personendaten. Umstellung des Tages von 04:00 bis 04:00.

Eine Übersicht über alle Variablen die verwendet wurden ist in Tabelle 2.1 zu finden.

3 Deskriptive Analyse

Insgesamt 37593 Messungen an 114 Tagen

8468 Beacons, 29125 Infrareds (vor Umkodierung)

nach Umkodierung: 31574 Personen

8468 mit LVS-Gerät, 23106 ohne LVS-Gerät

pr

Die meisten Leute zwischen 09:00 und 18:00 unterwegs

—

Schneehöhe nimmt bis Mitte Januar stark zu und fällt ab Mitte Februar ab

Temperatur nimmt im Trend bis Mitte Januar ab und steigt danach

Sonnenstrahlung steigt bis März leicht und danach stark

—

Anteil schwankt in den ersten Wochen deutlich

generell viele Ausreißer, aber keine groÙe Veränderung bei Schneehöhe, Temperatur und Sonneneinstrahlung

Anteile zur Mittagszeit geringer

mit steigender Lawinengefahr steigt die Anzahl

4 Methodik

In folgendem Kapitel soll anhand der zur Verfügung gestellten Daten zur Saison 18/19 in einem Modell der Zusammenhang einer beobachteten abhängigen Variable, in unserem Fall die Skitourenzügler mit LVS-Gerät, durch mehrere unabhängige Variablen erklärt werden. Mithilfe der generalisierten additiven Regression lässt sich diese Fragestellung auf eine flexible und strukturierte Weise lösen. Die Modellierung wird mittels nichtparametrischer Regression durchgeführt. Dabei wird für die Erklärung schrittweise von den B-Splines, hin zu P-Splines und letztendlich zu dem generalisierten additiven Regressionsmodell vorgegangen.

4.1 Nichtparametrische Regression

Bei einem linearen Regressionsmodell wird der Erwartungswert einer Zielvariable durch die Linearkombination von Einflussgrößen, auch Kovariablen genannt, beschrieben. In praktischen Anwendungen ist dies oft unzureichend, da neben den linearen Einflüssen auch nicht-lineare, flexible Einflüsse von stetigen Kovariablen auf die abhängige Variable wirken können. Die univariate Glättung stellt ein Verfahren dar, welche eine flexible Modellierung genau einer metrischen unabhängigen Variable auf eine metrische Zielvariable ermöglicht. Es wird davon ausgegangen, dass die Messungen (y_i, z_i) mit $i = 1, \dots, n$ gegeben sind, wobei y_i die Beobachtungen der Zielvariable und z_i die Werte einer metrischen Kovariable abbilden. Die Zielvariable lässt sich durch die Funktion der Kovariable und einen additiven Störterm erklären:

$$y_i = f(z_i) + \epsilon_i; \quad E(\epsilon_i) = 0 \quad \text{und} \quad \text{Var}(\epsilon_i) = \sigma^2 \quad \text{mit} \quad i = 1, \dots, n. \quad (4.1)$$

Daraus ergibt sich:

$$E(y_i) = f(z_i) \quad \text{Var}(y_i) = \sigma^2 \quad \text{mit} \quad i = 1, \dots, n, \quad (4.2)$$

was bedeutet, dass die Schätzfunktion f den Erwartungswert der abhängigen Variable darstellt. Im nächsten Schritt, werden unterschiedliche Glättverfahren, die es ermöglichen die Funktion f zu modellieren, vorgestellt.

4.1.1 Polynom-Splines

Eine Möglichkeit, die Funktion f abzubilden, sind Splines, die über Polynome modelliert werden. Dabei werden die sogenannten Polynom-Splines vom Grad l stückweise auf Basis der Knotenmengen k_1 bis k_m modelliert. Damit die Glattheit des Polynoms gewährleistet werden kann, muss die Funktion $f(z)$ an den Intervallgrenzen $(l - 1)$ -mal stetig differenzierbar sein. Der Grad des Splines l und die Zahl der Knoten bestimmen die Glattheit der Funktion. Je höher die Anzahl an Knoten ist, desto *rauer* ist die Funktion.

4.1.2 Basis Splines (B-Splines)

Eine weitere Möglichkeit, die Schätzfunktion flexibel zu modellieren ist die Darstellung von Polynom-Splines mittels der Spline-Basisfunktionen. Der Wertebereich wird in $m - 1$ Intervalle geteilt, zwischen denen m Knoten definiert werden (GLM Vorlesung F.194). Nach der Schätzung von einem Polynom vom Grad l auf jedem Intervall werden die Polynomfunktionen vom Grad l nun über $l + 2$ Knoten gebildet, um die Polynome der einzelnen Intervalle zusammenzuführen, ohne, dass es an den Knoten-Punkten zu Sprüngen kommt. Anschließend wird $f(z)$ durch $d = m + l - 1$ Basisfunktionen und damit folgende Funktion :

$$f(z) = \sum_{j=1}^d \gamma_j B_j(z) \quad (4.3)$$

mit Parametervektor γ , der die Basisfunktion skaliert, dargestellt.

Für B-Splines vom Grad 0 folgt:

$$B_j^0(z) = \mathbb{1}_{[k_j, k_{j+1}]}(z) = \begin{cases} 1 & k_j \leq z < k_{j+1}; \text{ mit } j = 1, \dots, d - 1; \\ 0 & \text{sonst.} \end{cases} \quad (4.4)$$

Für B-Splines höheren Grades gilt:

$$B_j^l(z) = \frac{z - k_j}{k_{j+l} - k_j} B_j^{l-1}(z) + \frac{k_{j+l+1} - z}{k_{j+l+1} - k_j + 1} B_{j+1}^{l-1}(z). \quad (4.5)$$

Die Abbildung 4.1 ist die Schätzung eines B-Splines anhand eines simulierten Datenbeispiels schematisch dargestellt. Abbildung (a) demonstriert eine B-Spline Basis vom dritten Grad. In Abbildung (b) wird die Basisfunktion mit dem Kleinst-Quadrat-Schätzer $\hat{\gamma}$ skaliert. Die Abbildung (c), zeigt die erhaltene Schätzung, wenn die skalierten Basisfunktionen addiert werden.

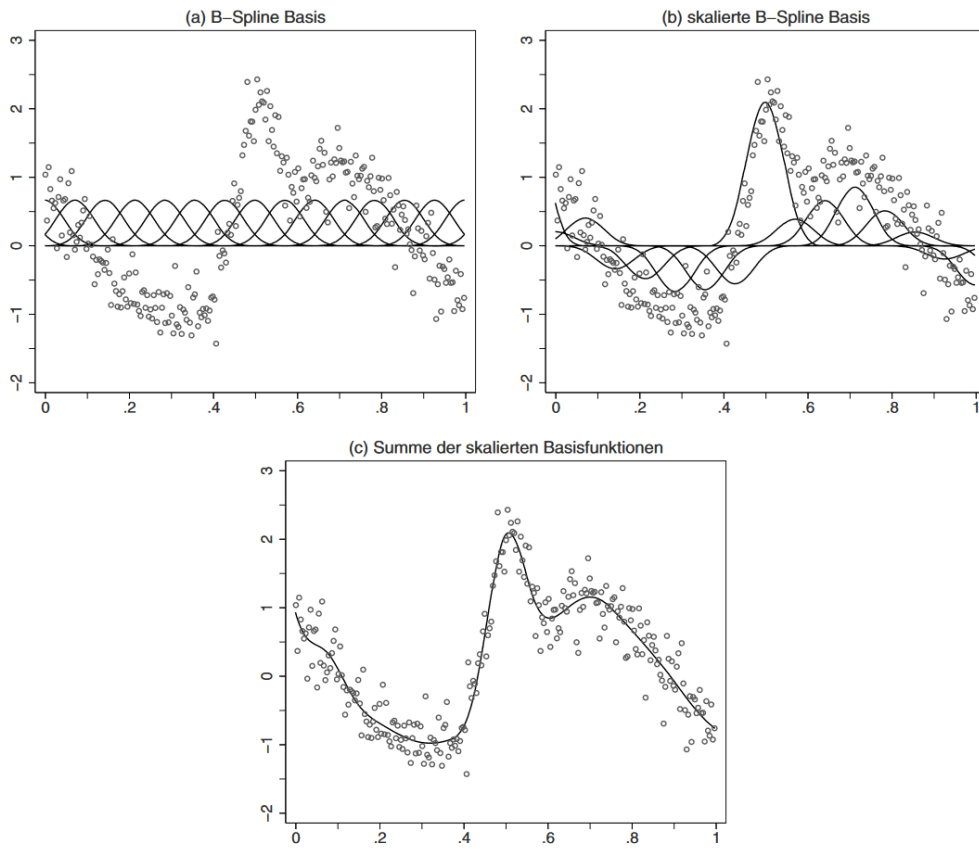


Abbildung 4.1: Schematische Darstellung der Schätzung eines nichtparametrischen Effekts mit B-Splines

Das nächste Kapitel behandelt P-Splines, welche auf B-Splines basieren und durch einen Strafterm erweitert worden sind. In unserer Arbeit beschränken wir uns auf P-Splines.

4.1.3 Penalisierte Splines (P-Splines)

Die Idee von P-Splines ist es die zu schätzenden Funktionen $f(z)$ durch einen Polynom-Spline (vgl. Kapitel 4.1.1) zu approximieren und eine hohe Anzahl an Knoten, in der Regel zwischen 20 und 40, festzulegen. Die Anzahl der Knoten bestimmt in hohem Maße die Glattheit der Funktion. Eine große Zahl an Knoten führt zu einer rauen Schätzung, welche für Flexibilität, auch bei stark variierenden Funktionen sorgt.

Eine weitere Idee ist es einen Strafterm für zu hohe Variabilität der Schätzung einzuführen.

P-Splines basierend auf B-Splines

P-Splines kombinieren eine B-Spline-Basis (vgl. Kapitel 4.1.2) verbunden mit einem Strafterm. Um einen Strafterm für B-Splines zu entwickeln bietet es sich an, quadrierte Ableitungen zu verwenden. Diese werden als Maß der Variabilität angesehen und sind daher in der Lage die Glattheit einer Funktion einzuschätzen. Der Strafterm

$$\lambda \int (f''(z))^2 dz \quad (4.6)$$

beruht auf der quadrierten zweiten Ableitung der Schätz-Funktion, welche nach z integriert wird und durch den Glättungsparameter λ dargestellt wird. Die Glattheit der Schätzung des Modells im penalisierten Fall, wird primär durch den Glättungsparameter (λ) reguliert, d.h. je größer λ , desto glatter ist die Schätzung.

Zyklische P-Splines

Eine Glättungsfunktion heißt *zyklisch*, wenn die Funktion dieselben Werte und ersten Ableitungen an ihrer oberen und unteren Grenze aufweist. Beispielsweise kann man die Funktion für die Variable Woche mit Hilfe von zyklische P-Splines modellieren. So könnte man sicher stellen, dass die Werte am Ende einer Woche zusammenhängend zu den Werten am Anfang der Woche sind. Der Penalisierungsansatz für zyklische P-Splines ist simultan zu der Penalisierung von P-Splines basierend auf B-Splines (siehe 4.6)

(Simon Woods Buch in Bib leihen und Zyklische Splines weiter ausführen)

4.2 Additives Modell

Das additive Modell stellt in der Statistik ein nicht-parametrisches Regressionsmodell dar. Neben den linearen Einüssen können hier also auch nicht-lineare, flexible Einflüsse von stetigen Kovariablen auf die abhängige Variable modelliert werden. Das Standardmodeel der additiven Regression (ohne Interaktionen) hat die Form:

$$y_i = \underbrace{f_1(z_{i1}) + \dots + f_q(z_{iq})}_{\text{nicht-parametrische Effekte}} + \underbrace{\beta_0 + \beta_1 x_{i1} + \dots + \beta_k x_{ik}}_{\text{parametrische Effekte}} + \epsilon_i \quad (4.7)$$

Die Funktionen $f_1(z_1), \dots, f_q(z_q)$ werden mit nichtparametrischen Effekten, die wir bereits im vorherigen Kapitel (4.1) erläutert haben, geschätzt. Das Model (4.7) kann durch Interaktionseffekte erweitert werden um Wechselwirkungen zwischen den Kovariablen zu integrieren.

4.2.1 Generalisierte additive Modell

Nichtlineare Effekte von metrischen Kovariablen treten auch bei Regressionsmodellen auf, die keine normalverteilte Zielvariable haben. Die abhängige Variable nimmt, aber typischerweise eine Verteilung aus einer Exponentialfamilie (z.B. Binomial, Poisson, Multinomial, Normal,...) an. In unserem Fall, handelt es sich um eine binär verteilte Zielvariable, die sich folgendermaßen darstellen lässt:

$$y_i = \begin{cases} 1 & \text{,wenn Person mit LVS-Gerät identifiziert wird} \\ 0 & \text{,sonst.} \end{cases} \quad (4.8)$$

Allgemein gelten für das generalisierte additive Modell mit binär verteilter Zielvariable, $y_i|x_i \sim B(1, \pi_i)$, die ab (4.9) aufgeführten Annahmen. Für den Erwartungswert der abhängigen Variable gilt:

$$E(y_i) = \pi_i = \frac{\exp(\eta_i)}{1 + \exp(\eta_i)}. \quad (4.9)$$

Dies lässt sich mit dem Logit-Link zu

$$\log(\pi_i) = \log\left(\frac{\pi_i}{1 - \pi_i}\right) \quad (4.10)$$

trasformieren. Mit dem additiven Prädiktor

$$\eta_i = f_1(z_{i1}) + \dots + f_q(z_{iq}) + \beta_0 + \beta_1 x_{i1} + \dots + \beta_k x_{ik} \quad (4.11)$$

, welches ein wichtiges Hilfsmittel bei der effizienten Codierung von additiven Modellen darstellt. Wie schon im vorherigen Kapitel (4.2) beschrieben, sind $f_1(z_{i1}), \dots, f_q(z_{iq})$ *glatte* Funktionen, die grundsätzlich nicht durch eine starre parametrische Form festgelegt werden, sondern durch nicht-parametrische Methoden, wie in Kapitel (4.1), geschätzt werden. Die Parameter β_0, \dots, β_k werden mittels der Maximum-Likelihood-Methode:

$$L(\beta) = \prod_{i=1}^n L_i(\beta) = \prod_{i=1}^n \pi_i^{y_i} (1 - \pi_i)^{1-y_i} \quad (4.12)$$

bestimmt.

Des weiteren muss die Varianzhomogenität, auch Homoskedastizität genannt, nicht unbedingt befriedigt sein. Das heißt, die Varianz ist in einigen Fällen nicht konstant. Beim Störterm ϵ_i geht man davon aus, dass dieser unabhängig sein muss, jedoch ist ϵ_i nicht normalverteilt.

Modell Fit

Das Modell *fitting* ist eine Optimierungsmethode, mit deren Hilfe das aufgestellte Modell überprüft wird.

Ein wichtiger Faktor, der beim *fitten* des generalisierten additiven Modells beachtet werden sollte, ist die Residuen-Analyse. Dazu gehören die Pearson- und Devianz-Residuen. Die Pearson-Residuen berechnen Größen indem der Abstand zwischen Beobachtungspunkt (y) und dem geschätzten Wert $\hat{\mu}$ gemessen wird und teilen das, dann durch die Standardabweichung des geschätzten Wertes:

$$r_i = \frac{y_i - \hat{\mu}_i}{\sqrt{\hat{V}(\hat{\mu}_i)}}. \quad (4.13)$$

Die Devianz-Residuen werden mit dem Term:

$$G^2 = \sum_{i=1}^N \left\{ y_i \log \left(\frac{y_i}{\hat{\mu}_i} \right) + (n_i - y_i) \log \left(\frac{(n_i - y_i)}{(n_i - \hat{\mu}_i)} \right) \right\} \quad (4.14)$$

definiert.

Ein weiterer Aspekt ist die Überdispersion, welche ein wichtiges Konzept bei gruppierten Daten beschreibt. Für gruppierte Daten lässt sich die Varianz innerhalb der Gruppe abschätzen. In Anwendungen ist diese *empirische* Varianz oft deutlich größer als die durch ein binomiales Regressionsmodell vorhergesagte Varianz. Eine mögliche Lösung dafür, wäre die Einführung eines multiplikativen Überdispersionsparameters $\phi > 1$ in die Varianzformel, d.h.

$$Var(y_i | \mathbf{x}_i) = \phi \frac{\pi_i(1 - \pi_i)}{n_i}. \quad (4.15)$$

(Quelle von Modell-Fit: <https://online.stat.psu.edu/stat504/node220>)

(Quelle von Überdispersion: Fahrmeir Regression)